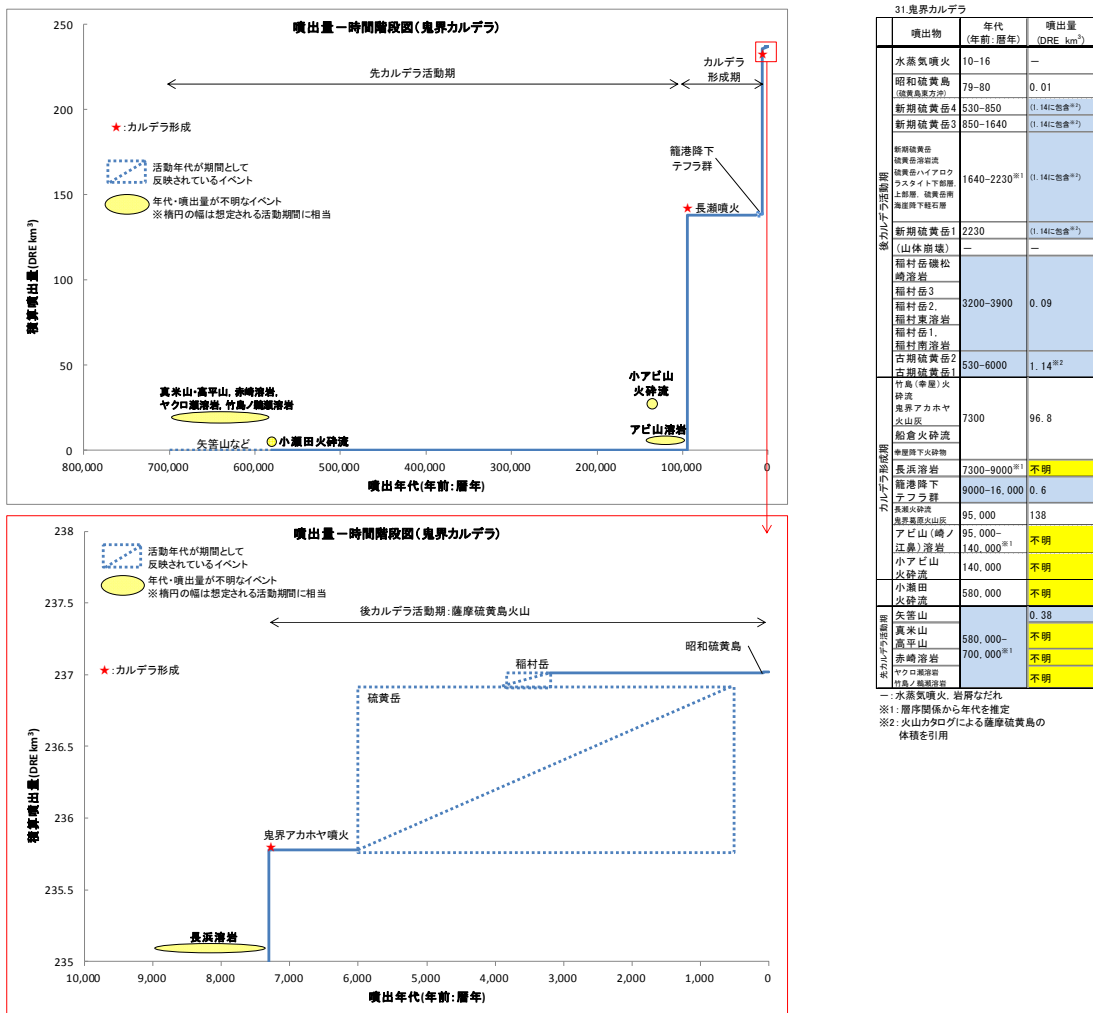


31) 鬼界カルデラ



第31-1図 噴出量一時間階段図（鬼界カルデラ）

第31-1表 データセット（鬼界カルデラ）

名前	種類	年代				採用年代値 ⁽³⁾	埋出量				積算埋出量 (DRE km ³)	
		文献	標記	信頼度	年代(年齢・層序) ⁽²⁾		文献	標記	信頼度	体積(km ³) ⁽⁴⁾		
水蒸気噴火	AD. 1998~2004	近代観測	◎	10~16	—	—	—	—	—	—	—	
岩屋噴火 (波食風化)	AD. 1934~35	古文書解釈	◎	79~80	79~80	0.006 ^④	標識未記載	△	0.006	0.01	237.02	
新潟硫黄岳 (Y) a~b	降下火砕物	520±80BP 500±40BP 530±40BP 920±40BP 610±30BP	10年代 10年代 10年代 10年代 10年代	◎ ◎ ◎ ◎ ◎	495~558 ^② 758~924 ^②	530~850	不明	—	(I. 14に包含?) (I. 14に包含?)	(I. 14に包含?) (I. 14に包含?)	—	
AD. 1800以前	—	—	—	—	—	—	—	—	—	—	—	
新潟硫黄岳 3a~c	降下火山灰 (12世紀以前)	1442±40BP 1130±40BP 1000±80BP 1250±80BP 1580±100BP 1720±110BP	10年代 10年代 10年代 10年代 10年代 10年代	◎ ◎ ◎ ◎ ◎ ◎	767~930 ^② 1392~1878 ^②	850~1640	不明	—	(I. 14に包含?) (I. 14に包含?)	(I. 14に包含?) (I. 14に包含?)	—	
新潟硫黄岳 3a~c	降下火砕物、 溶岩流、 カクマスアイト 風化物 (a~c)、硫黄 堆積物	不明	—	—	1640~2230 (層序から推定)	—	不明	—	(I. 14に包含?) (I. 14に包含?)	(I. 14に包含?) (I. 14に包含?)	—	
新潟硫黄岳 1	火山強 降下火山灰	2210±40BP 2250±60BP 3040±120BP	10年代 10年代 10年代	◎ ◎ ◎	2133~2331 ^②	2230	不明	—	(I. 14に包含?) (I. 14に包含?)	(I. 14に包含?) (I. 14に包含?)	—	
(山体崩壊)	—	不明	—	—	—	—	—	—	—	—	—	
新潟硫黄岳 標識未記載	溶岩流	—	—	—	—	—	—	—	—	—	—	
新潟硫黄岳3	降下スコリア	3.2~3.9cal ka In: 3890±40BP	10年代	◎	3200~3900	3200~3900	0.12 ^④	標識未記載	△	0.0912	0.09	237.01
新潟硫黄岳2	降下火砕物 溶岩流	In: 3660±70BP	10年代	◎	—	—	—	—	—	—	—	
新潟硫黄岳3	降下スコリア	In: 3660±70BP	10年代	◎	—	—	—	—	—	—	—	
新潟硫黄岳3	降下スコリア 風化物	—	—	—	—	—	—	—	—	—	—	
新潟硫黄岳3	降下火砕物 火砕サージ	6cal ka~ 5200±70BP	10年代	◎	3900~6000	530~6000	不明	—	—	1.14	1.14	236.92
竹島(鬼界) 火砕流、 火砕物、 火砕サージ	降下火砕物	—	—	—	—	—	—	—	—	—	—	
新潟硫黄岳 7.3cal ka	—	—	—	—	—	—	—	—	—	—	—	
船倉火砕流	7.3cal ka	10年代	◎	7300	7300	—	—	—	—	—	—	
船倉	ブリニーナ海相: 火砕物	—	—	—	—	—	—	—	—	—	—	
船倉火砕物	—	—	—	—	—	—	—	—	—	—	—	
長浜溶岩	溶岩流	—	—	—	—	—	—	—	—	—	—	
長浜溶岩下 アブラン	降下火砕物	9310±240BP	10年代	◎	9000~16,000	9000~16,000	1>	標識未記載	△	0.6	0.6	138.98
長浜溶岩 長浜溶岩山	火砕流	95ka	層序: FT年代	●	95,000	95,000	100 150 118.65	引用 分布の比較 GSI算出体積(gfa)	△ ○	138	138	138.38
アビラン(鬼界) 溶岩流	溶岩流	—	—	—	—	—	—	—	—	—	—	
小アビラン 火砕流	火砕流	140±20ka	K-Ar年代	◎	140,000	—	不明	—	—	—	—	
小阿良田	火砕流	0.58±0.08ka	FT年代	○	580,000	—	不明	—	—	—	—	
矢寄山	溶岩流、火砕 物	—	—	—	—	—	—	—	—	—	—	
真茶山、 新茶山、 赤茶山 (溶岩)	溶岩流	700ka以降	開拓の程度 古地磁気測定	△	580,000~700,000	580,000~700,000	(層序から推定)	標識未記載 (矢寄茶ほか)	△	0.38	0.38	0.38
赤崎溶岩	溶岩流	—	—	—	—	—	—	—	—	—	—	
カワラ溶岩	溶岩流	—	—	—	—	—	—	—	—	—	—	

注1:名前については、より新しい地図に基づく。
注2:測定値の小さいものと選出した。
注3:値がある場合は中央値を使用した。

※1:開拓段階から読み取った年代
※2:層年較正にはCab7を使用した。
※3:層年較正にはCab7を使用した。

—

*:文献でDRE換算されている値
△:開拓段階から読み取った体積

-:開拓段階の内側、荷物問題を考慮して

●:開拓段階の外側、荷物問題を考慮して

○:古文書解釈、古代観測。○:本調査内で文書を基に決定した。

※4:文書の層年代が信頼と矛盾する場合、Cab7で校正した。

○:信頼度高い
△:信頼度低い

×:信頼度低い

×:文書を基に決定した。

注4:DRE換算は火鉢流:1.3g/cm³(溶結:1.6),
降下火砕物:1.5g/cm³, 溶岩火出し:1.9g/cm³,
溶岩:2.5g/cm³を用いた(Umeda et al. 2013)

第 31-2 表 (1) 活動履歴帳票 (鬼界カルデラ)

31. 鬼界カルデラ		【データベース】(DB)等による年代・体積									
噴火史の概略		【年代】95ka(先カルデラは75万年前)~現在(AD2004)【体積】320km ³									
		引用DB 日本の火山(http://gbank.gsj.jp/volcano/)									
活動期	細分・別称	噴出物	マグマ種類	噴火様式	年代	根拠	引用	信頼度	体積	注	根拠
後カルデラ活動期	—	—	水蒸気噴火	AD. 1998~2004	近代観測	*1	◎	—	—	—	—
	昭和硫黄島 (硫黄島東方沖)	流紋岩	海底噴火：溶岩ドーム	AD. 1934-35	古文書解釈	*2	◎	0.006	根拠未記載	*1	△
	新期硫黄岳(Yio) 4a~b	流紋岩	降下火碎物 (火山灰、火山弾、火山岩塊)	520±80yBP 500±40yBP 500±40yBP 530±40yBP 920±40yBP 610±30yBP AD. 1600以前	14C年代 14C年代 14C年代 14C年代 14C年代 14C年代 14C年代	*3 *4 *4 *4 *4 *4 *5	◎	不明	—	—	—
				940±40yBP 1130±40yBP 1000±80yBP 1290±80yBP 1560±110yBP 1720±110yBP	14C年代 14C年代 14C年代 14C年代 14C年代 14C年代	*4 *4 *3 *2 *2 *2	◎	不明	17 ⁷² 海中	—	—
				不明	—	—	—	不明	10 ⁴⁶	硫黄岳 1.5 ※1	—
	新期硫黄岳	新期硫黄岳 3a~c	流紋岩	降下火山灰、火碎流 (12世紀に噴煙+2)	—	—	—	—	—	—	—
				不明	—	—	—	不明	—	—	—
				火山弾、降下火山灰	2210±40yBP 2250±60yBP 3040±120yBP	14C年代 14C年代 14C年代	*4 *3 *2	◎	不明	—	—
稻村岳	新期硫黄岳 2a~e、 硫黄岳溶岩流 (1oL) A~F、 硫黄岳ハイアロクラスタイト 下部層、上部層 (loHy-l, u) 硫黄岳南海岸降下軽石層 (loSP)	—	—	不明	—	—	—	—	—	—	—
	新期硫黄岳 1	玄武岩	溶岩流 降下スコリア、スコリア丘 降下火山灰、溶岩流 降下スコリア、溶岩流	—	—	—	—	—	—	—	—
	(山体崩壊)			不明	—	—	—	—	—	—	—
	稻村岳標高松崎溶岩			溶岩流	3.2~3.9cal ka In1: 3890±40yBP In1: 3660±70yBP	14C年代 14C年代 14C年代	*5 *4 *3	◎	0.12	根拠未記載	*1
	稻村岳3			降下スコリア、スコリア丘	—	—	—	—	—	—	—
古期硫黄岳	稻村岳2、稻村東溶岩			降下火山灰、溶岩流	—	—	—	—	—	—	—
	稻村岳1、稻村南溶岩			降下スコリア、溶岩流	—	—	—	—	—	—	—
	古期硫黄岳 2a~b 古期硫黄岳 (01o) 1a~b	流紋岩	溶岩灰 降下火碎物、火碎サージ	6cal ka~ 5200±70yBP	14C年代 14C年代	*5 *3	◎	不明	—	—	—
	アカホヤ噴火			火碎流、降下火碎物 (カルデラ形成噴火本体)	7. 3cal ka	14C年代	*5 *7	◎	50 100 314.06	根拠、周囲から概算 分布から概算 GIS算出体積	*7 *7 *11 ○
	船倉火碎流			ブリニー式噴火： 火碎流 (溶結)			—	不明	—	—	—
カルデラ形成期	奉屋降下火碎物			ブリニー式噴火： 降下火碎物 (溶結)			—	—	20 7.11	引用 GIS算出体積	*7 *11 ○
	長浜溶岩	流紋岩	溶岩灰 (アカホヤ噴火の前駆活動 Kobayashi Hayakawa, 1984)	不明	—	—	—	不明	—	—	—
	龍港降下テフラ群			—	—	—	—	—	—	—	—
	長瀬噴火	安山岩	16~9cal ka 9310±240yBP	16~9cal ka 14C年代 14C年代	*5 *10	◎	I>	根拠未記載	*6	△	—
	鬼界裏原火山灰 (K-Tz)			16~9cal ka 9310±240yBP	14C年代	*7 *8	◎	● 100 ○ 150 118.65	引用 分布の比較 GIS算出体積 (pfa)	*6 *7 *11 ○	—
小アビ山噴火	アビ山 (嶺ノ江鼻) 溶岩	流紋岩	火碎流、降下火碎物	不明	—	—	—	不明	—	—	—
	小アビ山火碎流			溶岩流 (溶結)	140±20ka	K-Ar年代	*7	◎	—	—	—
	小瀬田火碎流	火碎流	火碎流	0.58±0.08Ma	FT年代	*9	○	不明	—	—	—
	成層火山			矢ヶ岳	700ka以降	開折の程度 古地磁気測定	—	0.5	根拠未記載 (矢ヶ岳ほか)	*1	△
先カルデラ活動期	成層火山			(玄武質) 安山岩			—	不明	—	—	—
	真米山・高平山			玄武岩			—	—	—	—	—
	赤崎溶岩			流紋岩			—	不明	—	—	—
竹島	ヤク島瀬溶岩 竹島ノ鷺瀬溶岩			流紋岩 ディヤサイト			—	不明	—	—	—

注) 文献中の角番号が該頁に記載された場合は斜体で表記した。●上部の数値は年代と規定 ▲上下端が未接定
古文書類、近代報紙、◎

引用文献

- 1: 気象庁編 (2013) : 93. 薩摩硫黃島. 日本活火山総覧. 第4版.
- 2: 小野晃司, 宮原章典, 細野武男 (1982) : 薩摩硫黃島地域の地質. 地域地質研究報告. 5万分の1地図. 1-80p.
- 3: 前野 深, 谷口宏充 (2005) : 薩摩硫黃島におけるカルデラ形成期以降の噴火史. 火山. 50, 2, pp. 71-85.
- 4: Kanabane, Y., Saito, G. (2002) : Volcanic activity of the Satsuma-Iojima area during the past 6500 years. Earth Planets Space. 54, pp. 295-301.
- 5: 奥野 充 (2002) : 南九州に分布する最近約3万年間のテフラの年代学的研究. 第四紀研究. 41, 4, pp. 225-236.
- 6: Nagaoaka, S. (1988) : The late quaternary tephra layers from the caldera volcanoes in and around Kagoshima bay, southern Kyushu, Japan. Geographical Reports of Tokyo Metropolitan University. 23, pp. 49-122.
- 7: 町田 洋, 新井房夫 (2011) : 新編第三刷火山灰アトラス-日本列島とその周辺-. 東京大学出版会. 1-337p.
- 8: Machida, H. (1999) : Quaternary Widespread Tephra Catalog in and around Japan: Recent Progress. The Quaternary Research. 38, 3, pp. 194-201.
- 9: 森脇 広, WESTGATE John, SANDHU Anjith. 新井房夫 (2000) : 南九州の中期更新世テフラのIsotermal plateau fission-track年代とその第四紀学的意義. 日本国第四紀学会講演要旨集. pp. 30-31.
- 10: 奥野 充, 中村俊夫, 小林哲夫 (1994) : 南九州・奥カカルデラの龍宮テフラ群の噴出年代. 日本国第四紀学会講演要旨. pp. 106-107.
- 11: 須藤 茂, 猪股隆行, 佐々木 寿, 向山 栄 (2007) : わが国の降り火山灰データベース. 地質調査研究報告. 58, 9/10, pp. 261-321.

(参考) Kobayashi, T. and Hayakawa, Y. (1984) : Geology of Kikai caldera (source of the Koyu Ignimbrite), Japan. In Volcanology of Koyu ash flow. A Progress report of the II-S-

第31-2表(2) 活動履歴帳票(鬼界カルデラ)

31. 鬼界カルデラ

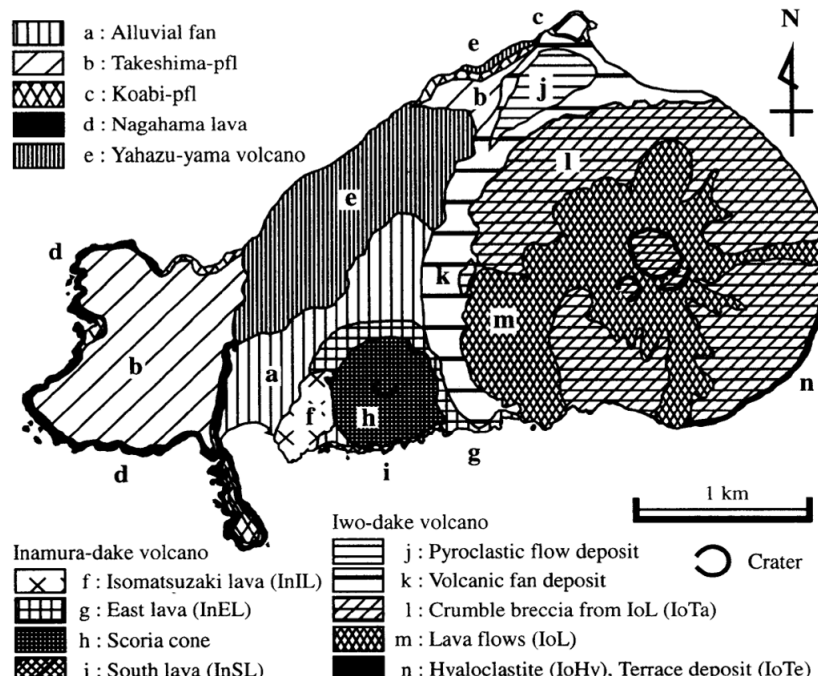


図 薩摩硫黄島火山の地質図(前野・谷口, 2005)

Table 1. Geological units in Kikai Caldera area

eruptive stage	This study			Kawanabe and Saito (2002)		Other studies Age (yBP for no unit)
	Tephra	Lava	Volcaniclastic rock	Name	Age (yBP)	
<i>Showa Iwojima Eruption</i>						
stage YIo- IV	YIo4a-b			K-Sk-u-4	920±40	K-Iw-P2 610±30 1934-35 A.D. 520±80 (2)
stage YIo- III	YIo3a-c			K-Sk-u-3	940±40	K-Iw-S1 K-Iw-P1 1130±40 1000±80 (2), 1560±110 (1)
<i>Young Iwo-dake</i>						
stage YIo- II	YIo2a-e	IoLP IoLD, E IoLB, C IoTe IoLA	IoTa ↓ (IoSP) IoHy-l,u	K-Sk-u-2		
stage YIo- I	YIo1			K-Sk-u-1	2210±40	2250±60 (2) 3040±120 (1)
<i>Inamura-dake</i>						
stage In- IV	InLL					
stage In- III	In3					
stage In- II	In2	InEL		K-In-2		
stage In- I	In1	InSL		K-In-1	3890±40	3660±70 (2)
<i>Old Iwo-dake</i>						
stage OIo- II	OIo2a-b			K-Sk-l-2		
stage OIo- I	OIo1a-b			K-Sk-l-1		5200±70 (2)
<i>Akahoya Eruption</i>						
Takeshima-Koya pfl (K-Tk, K-Ky, K-Ah)	Funakura pfl	Caldera forming eruption	6.5 ka (3)			
	Funakura pfa (K-Kyp)					
<i>Caldera forming stage</i>						
Komoriko tephra group (K-Km)					13-8 ka (2)	
Nagase pfl (K-Ns, K-Tz)		Caldera forming eruption			95 ka (4)	
Koabi pfl (K-ab)		Caldera forming eruption			140 ka (5)	
Koseda pfl (K-sd)		Caldera forming eruption			580 ka (6)	
<i>pre-Caldera forming stage</i>						
Felsic lava goup	Yahazuyama, Magomeyama, Takahirayama					
Mafic lava goup	Nagahama-lava, Sannechama-lava, Akasaki-lava				700 ka~ (1)	

(1) Ono *et al.* (1982), (2) Okuno *et al.* (2002), (3) Kitagawa *et al.* (1995), (4) Machida (1999), (5) Machida *et al.* (2001),

(6) Moriwaki *et al.* (2000).

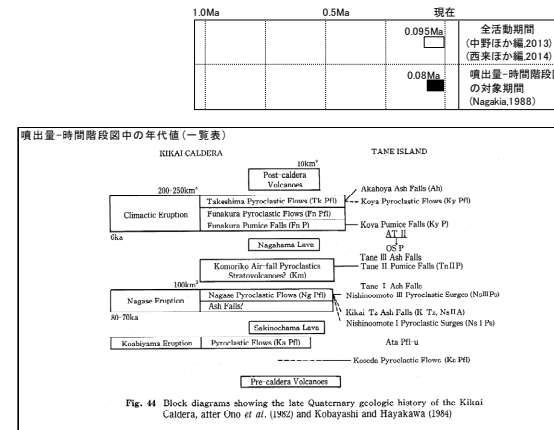
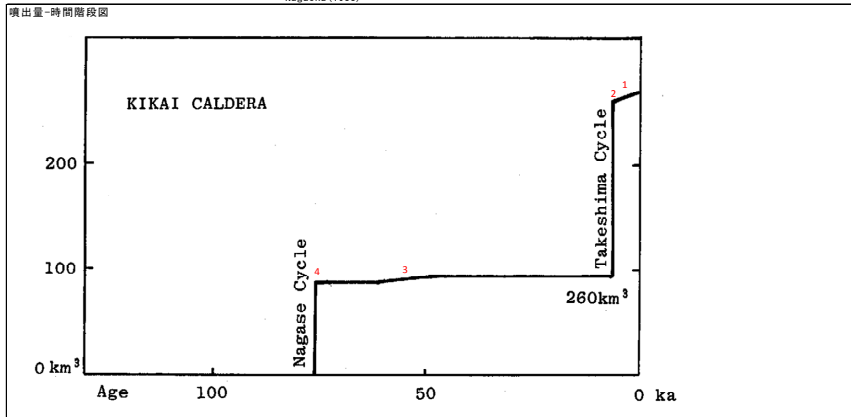
pfl: pyroclastic flow, pfa: pumice fall.

図 薩摩硫黄島火山の層序図(前野・谷口, 2005)

第31-3表 既存文献における噴出量-時間階段図（鬼界カルデラ）

31. 鬼界カルデラ

引用文献
Nagaoka (1988)



第31-4表 収集文献リスト（鬼界カルデラ）

31 鬼界カルデラ-1-

No	著者	発行年	題名	雑誌名	記載事項の有無									備考	
					噴出量-時間 階段図	噴出量 (体積)	方法	活動 年代	方法	層序	噴出物 分布	噴火 様式	マグマ 特性	その他	
31-a	奥野 充	2002	南九州に分布する最近約3万年間のテフラの年代学的研究	第四紀研究	x	x	-	○	A, D (¹⁴ C)	○	○	x	x	-	
31-b	奥野 充, 小林哲夫	1994	種子島に分布する後期更新世テフラ	第四紀研究	x	x	-	x	-	○	○	x	x	-	
31-c	奥野 充, 中村俊夫, 小林哲夫	1994	南九州、鬼界カルデラの籠港テフラ群の噴出年代	日本第四紀学会 講演文集	x	x	-	○	A, D (¹⁴ C)	○	x	○	x	-	
31-d	奥野 充, 新井房夫, 森脇 広, 中村俊夫, 小林哲夫	1994	鬼界カルデラ、籠港テフラ群に挟在する鷹栖土の加速器14C年代	鹿児島大学理学部 紀要	x	x	-	○	A, D (¹⁴ C)	○	○	○	x	-	
31-e	奥野 充, 成尾英仁, 新井房夫, 小林哲夫	1995	大隅半島南部に分布する後期更新世テフラ	鹿児島大学理学部 紀要	x	x	-	○	D	○	○	x	x	-	
31-f	奥野 充, 中村俊夫, 小林哲夫	2002	鬼界カルデラの最近約2万年間の噴火史	日本火山学会 講演文集	x	x	-	○	D	○	x	x	x	-	
31-g	下司信夫	2009	屋久島を覆った約7300年前の幸屋火碎流堆積物の流動・堆積機構	地学雑誌	x	○	c	○	D	○	○	○	x	-	
31-h	国土地理院	2010	薩摩硫黄島	1:10,000 火山土地条件図	x	x	-	○	D	○	○	○	x	-	
31-i	小野晃司, 曽屋竜典	1975	鬼界カルデラ、竹島・硫黄島の地質（予報）	日本火山学会 講演文集	x	x	-	x	-	○	x	x	x	-	
31-j	小野晃司, 曽屋竜典, 細野武男	1982	薩摩硫黄島地域の地質	地域地質研究報告 5万分の1図幅	x	○	a	○	A, C (¹⁴ C)	○	○	○	○	-	
31-k	小林哲夫	1985	トカラ列島の火山	火山	x	x	-	○	F	○	x	○	x	-	
31-l	小林哲夫	2008	鬼界カルデラ・竹島の火山地質	日本火山学会 講演文集	x	x	-	○	F	○	x	○	x	-	
31-m	小林哲夫, 奥野 充, 長岡信治, 宮城吉夫, 井口正人, 味喜大介	2010	大規模カルデラ噴火の前兆現象-鬼界カルデラと姶良カルデラ-	京都大学防災研究所 年報	x	x	-	○	D	○	○	○	x	-	姶良カルデラ中心
31-n	森脇 広, WESTGATE John, SANDHU Amanjit, 新井房夫	南九州の中期更新世テフラのIsothermal plateau fission-track年代と その第四紀学的意義	日本第四紀学会 講演文集	x	x	-	○	A (FT)	○	x	x	x	-		
31-o	Kawanabe, Y. and Saito, G.	2002	Volcanic activity of the Satsuma-Iwojima area during the past 6500 years	Earth Planets Space	x	○	c	○	A (¹⁴ C)	○	x	○	x	-	
31-p	川辺裕久, 松井喜雄, 西 祐史, 斎藤元治	2001	薩摩硫黄島火山活動史の新知見	日本火山学会 講演文集	x	x	-	○	A, D (¹⁴ C)	○	x	○	x	-	
31-q	前野 深	2014	カルデラ噴火とは何か：鬼界大噴火を例に	科学	x	○	c	○	D	○	○	○	○	-	
31-r	前野 深, 谷口宏充	2005	薩摩硫黄島におけるカルデラ形成期以降の噴火史	火山	x	x	-	○	A, D (¹⁴ C)	○	○	○	○	-	
31-s	Maeno, F. and Taniguchi, H.	2007	Spatiotemporal evolution of a marine caldera-forming eruption, generating a low-aspect ratio pyroclastic flow, 7.3 ka. Kikai caldera, Japan: Implication from near-vent eruptive deposits	Journal Volcanology and Geothermal Research	x	○	a	○	D	○	○	○	○	-	
31-t	前野 深, 宮本 稔, 谷口宏充	2001	鬼界カルデラの後カルデラ活動史	日本地球惑星科学連合 講演文集	x	x	-	○	F	○	x	○	○	-	
31-u	前野 深, 宮本 稔, 谷口宏充	2001	鬼界カルデラにおけるアカホヤ噴火以降の火山活動	東北アジア研究	x	x	-	○	D	○	○	○	○	-	
31-v	Machida, H.	1999	Quaternary Widespread Tephra Catalog in and around Japan : Recent Progress. The Quaternary Research	The Quaternary Research	x	○	c	○	A, B, D	○	x	x	x	-	
31-w	曾屋竜典・小野晃司	1982	鬼界カルデラの地質と岩石	日本火山学会 講演文集	x	○	e	○	F	○	x	○	○	-	
31-x	Soya, T., Okuda, Y., Murakami, F. and Honza E.	1976	Geological setting of the Kikai caldera	Geol. Surv. Japan, Cruise Report: Ryukyu Island Arc	x	○	d	x	-	○	x	x	x	-	
31-y	地質調査所	2000	薩摩硫黄島硫黄岳山麓に分布する火砕流堆積物の14C年代	火山噴火予知連絡会 会報	x	x	-	○	A (¹⁴ C)	○	x	x	x	-	
31-z	中村光一, 阪口圭一, 長井俊夫, 畠田 宏, 門馬大和, 田中武男	1985	「しんかい2000」・深海曳航艇による鬼界カルデラの海底地質調査	日本火山学会 講演文集	x	x	-	x	-	x	○	x	x	-	

◎:記載あり(良好)
○:記載あり
():記載ありの対象
■:降下火砕物
▲:溶岩流
△:山体一括

a:地質調査
b:地質図等
c:引用
d:その他
e:不明
f:不明

第31-4表 続き

31 鬼界カルデラ-2-

No	著者	発行年	題名	雑誌名	記載事項の有無										備考
					噴出量-時間 階段図	噴出量 (体積)	方法	活動 年代	方法	層序	噴出物 分布	噴火 様式	マグマ 特性	その他	
31-A	Nagaoka, S.	1988	The late quaternary tephra layers from the caldera volcanoes in and around Kagoshima bay, southern Kyushu, Japan	Geographical Reports of Tokyo Metropolitan University	◎ (●)	○	c	○	D	○	○	○	○	-	
31-B	長岡信治	1988	最終間氷期末に起きた鬼界カルデラの珪長質火碎流噴火と火碎サージの形成	地学雑誌	x	○	e	○	D	○	○	○	x	-	
31-C	須藤 茂、猪股隆行、佐々木 勇、向山 実	2007	わが国の降下火山灰データベース作成	地質調査研究報告	x	○	d	○	D	x	○	x	x	分布を引用しGISで算出	
31-D	気象庁 編	2013	93.薩摩硫黄島	日本活火山総覧(第4版)	x	○	c	○	D	○	○	○	○	近代観測	
31-E	町田 洋、新井房夫	2011	新編 火山灰アトラス 日本列島とその周辺	東京大学出版会	x	○	a, c	○	A, B, C, D	○	○	○	○	-	
31-F															
31-G															
31-H															
31-I															
31-J															
31-K															
31-L															
31-M															
31-N															
31-O															
31-P															
31-Q															
31-R															
31-S															
31-T															
31-U															
31-V															
31-W															
31-X															
31-Y															
31-Z															

◎:記載あり(最良)
○:記載あり
(噴出量の対象
●:降下火砕物
■:溶岩流
▲:山体一括)

a:地質調査
b:地質図等
c:引用
d:その他
e:不明
f:その他
g:古文書記載
h:層序
i:放射年代
j:古文書記載
k:層序
l:放射年代
m:その他
n:不明
o:不明